

شناسه دیجیتال (DOI): 10.22092/ijfpr.2021.353563.1985
شناسه دیجیتال (DOR): 20.1001.1.17350883.1400.29.2.2

نشریه علمی تحقیقات جنگل و صنوبر ایران
جلد ۲۹ شماره ۲، صفحه ۱۳۹-۱۲۸ (۱۴۰۰)

تخمین تبخر - تعرق پوشش جنگلی بلوط با استفاده از الگوریتم سبال در منطقه رباط ماهیدشت کرمانشاه

همایون حصادی^{۱*}، عبدالکریم بهنیا^۲، علی محمد آخوندعلی^۲، سیدمحمد کاشفی پور^۲، پیمان دانش کار آراسته^۲
و علیرضا کریمی^۴

- ۱*- نویسنده مسئول، مرئی پژوهش، بخش تحقیقات حفاظت خاک و آبخیزداری، مرکز تحقیقات و آموزش کشاورزی و منابع طبیعی استان کرمانشاه، سازمان تحقیقات، آموزش و ترویج کشاورزی، کرمانشاه، ایران. پست الکترونیک: hhesadi@gmail.com
- استاد، دانشکده مهندسی و علوم آب، دانشگاه شهید چمران اهواز، اهواز، ایران
- دانشیار، دانشکده کشاورزی و منابع طبیعی، دانشگاه بین‌المللی امام خمینی (ره)، قزوین، ایران
- کارشناس ارشد منابع آب، شرکت آب و فاضلاب استان فارس، شیراز، ایران

تاریخ دریافت: ۱۳۹۹/۱۰/۲۱ تاریخ پذیرش: ۱۳۹۹/۱۲/۲۵

چکیده

پوشش جنگلی بلوط (*Quercus spp.*) یکی از مهم‌ترین بوم‌سازگان‌های زنده در غرب کشور و استان کرمانشاه است. از نیازهای مهم مدیریتی این پوشش می‌توان به برآورد تبخر - تعرق یا نیاز آبی اشاره کرد. استفاده از سنجش‌آذور، یکی از روش‌های کاربردی در برآورد تبخر - تعرق پوشش گیاهی در سطوح مختلف است. در پژوهش پیش‌رو از الگوریتم سبال و چهار تصویر ماهواره لندست ۵ مربوط به تیر و مردادماه ۱۳۸۹ (ژوئن و ژوئیه و اوت سال ۲۰۱۰ میلادی) برای برآورد مقدار تبخر - تعرق پوشش جنگلی در منطقه رباط ماهیدشت در استان کرمانشاه استفاده شد. سپس با استفاده از تصاویر ماهواره ستینیل، محدوده جنگلی منطقه رباط‌ماهیدشت استخراج شد و با نقشه تبخر - تعرق تطبیق داده شد. براساس نتایج، مقدار میانگین تبخر - تعرق ۲۴ ساعته پوشش جنگلی در بازه زمانی مورد مطالعه بین ۵/۰ تا ۳/۴ میلی‌متر متغیر بود که بیانگر نیاز آبی قابل توجه این پوشش است. ضریب همبستگی بین تبخر - تعرق برآورده شده با سبال و اندازه‌گیری شده با لایسی متر ۹۹۶۷/۰ و اختلاف مطلق بین آنها ۰/۵۳ میلی‌متر در روز بدست آمد که نشان‌دهنده خطای کمتر از ۱۰ درصد و عملکرد قابل قبول الگوریتم سبال است. این الگوریتم در صورت وجود توالی مناسب تصاویر و داده‌های سنجنده‌های دیگر مانند تصاویر ستینیل می‌تواند برای طبقه‌بندی تراکمی و بررسی سلامتی جنگل‌ها استفاده شود.

واژه‌های کلیدی: جنگل‌های زاگرس، رابطه بیلان انرژی، ستینیل، سنجنده TM.

مقدمه

Q. infectoria, (Quercus *brantii* Lindl.) مازودار (Oliv.) و ویول (*Q. libani* Oliv.) تشکیل شده‌اند (Sagheb Talebi *et al.*, 2014). اقلیم زاگرس، مدیترانه‌ای نیمه‌خشک با زمستان‌های سرد است (Heshmati *et al.*, 2017b). بارندگی این منطقه از ۶۰۰ میلی‌متر در قسمت‌های

جنگل‌های زاگرس با وسعت شش میلیون هکتار و پراکنش در ۱۱ استان کشور حدود ۴۰ درصد جنگل‌های ایران را به خود اختصاص داده‌اند. نزدیک به ۷۰ درصد تیپ‌های جنگلی این ناحیه از سه گونه بلوط ایرانی

برای برآورد تبخیر- تعرق و شارهای گرمابی در سطح به کار می رود و نتایج رضایت بخشی برای آن گزارش شده است (Miryaghoubzadeh *et al.*, 2014). هدف از پژوهش پیش رو، برآورد تبخیر- تعرق پوشش جنگلی با استفاده از پردازش داده های ماهواره لندست ۵ و اجرای الگوریتم سبال در منطقه رباط ماهیدشت کرمانشاه بود.

مواد و روش ها

منطقه مورد مطالعه

پژوهش پیش رو در منطقه رباط ماهیدشت در استان کرمانشاه انجام شد. این منطقه با مساحت ۹۹۲۳۵ هکتار در عرض جغرافیایی $۳۲^{\circ} ۳۴^{\prime}$ تا $۳۶^{\circ} ۴۷^{\prime}$ شمالی و طول جغرافیایی $۴۶^{\circ} ۳۱^{\prime}$ تا $۴۷^{\circ} ۰۶^{\prime}$ شرقی قرار دارد (شکل ۱). رباط ماهیدشت منطقه ای کوهستانی است که نزدیک به ۳۵ درصد آن را کوه و تپه تشکیل می دهد. مرتفع ترین قله در مرز باختری و در ارتفاعات کوه قلعه غازی با ارتفاع ۲۳۶۷ متر از سطح دریا قرار دارد. شیب عمومی منطقه $۸/۶$ درصد و جهت عمومی آن شمال غربی است.

جنگل های منطقه رباط ماهیدشت با مساحت ۱۰۱۶۵ هکتار، بخشی از جنگل های بلوط زاگرس هستند که در جهت کلی شمال غرب به جنوب شرق گستردگی شده اند. نتایج آماربرداری این منطقه در شیب های شمال تا شمال شرقی و در دامنه ارتفاعی ۱۷۵۰ تا ۱۸۵۰ متر از سطح دریا نشان می دهند که شیب آن بین ۲۸ تا ۴۱ درصد است. شیب هایی تند با بافت خوب و تحبد زیاد در این منطقه، تبخیر- تعرق بیشتری دارند. pH و بافت خاک منطقه مورد مطالعه به ترتیب هفت تا $۷/۴$ و رسی- لومی هستند. متوسط تعداد کل پایه های درختی و درختچه ای در این منطقه ۳۰۷ اصله در هکتار هستند که بیشتر آنها از گونه های بلوط ایرانی، *Cerasus* (*Crataegus meyeri*) و *Ranunculus* (*microcarpa*) تشکیل شده اند. متوسط تاج بوشش درختان جنگلی حدود ۲۶ درصد است (Khan Hasani, 2001). این منطقه براساس تقسیم بندی دو مارتون اصلاح شده، اقلیم مدیترانه ای و نیمه خشک سرد دارد (Kazemi & Sharifi, 2017).

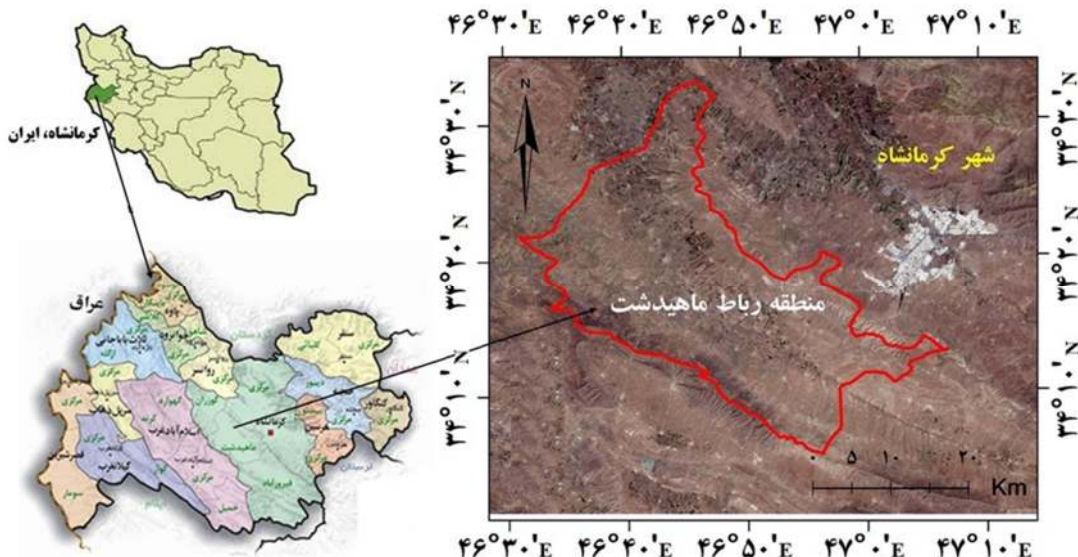
شمالي تا ۳۰۰ ميلى متر در جنوب غرب نوسان دارد. جنگل های بلوط زاگرس که در بريگيرنده ۴۰ درصد منابع آب شيرين كشور هستند، نقش مهمی در تعزيز آب های زيرزميني، پايداري كشاورزی، حفاظت خاک و كنترل سيل ايها می کنند (Heshmati *et al.*, 2017a). اين بوم سازگانها از نظر تفرج، توليد و غني كردن خاک، تعديل آب و هوا، توليد دارو و صمع، جذب مواد آلائينده هوا، كنترل زيسبي آفات و توليد اكسيزن نيز بسيار اهميت دارند. در سال های اخير، بخش قابل توجهی از اين منابع ارزشمند خشک شده اند (Heshmati *et al.*, 2018). از دلائل اصلی خشکيدگی درختان در اين ناحيه روبيشي می توان به تعزيز اقليم (كاهاش بارندگی و افزایش در دما و طول دوره خشکی) و بروز تنش های خشکی شدید اشاره کرد که باعث شده اند درختان نتوانند آب مورد نياز خود را به اندازه کافي جذب کنند و از نظر فيزيولوژيکي ضعيف شوند (Hosseini *et al.*, 2015).

به کارگيري روش هایی که بتوانند نياز آبی (تبخیر- تعرق) پوشش جنگلی را برآورد کنند، اهميت زيادي در پايش آب شناسی، بوم شناسی و مدیریت منابع آب دارد. تبخیر- تعرق نقش مهمی در چرخه آب شناسی و معادله های انرژی در سطح زمين و توازن آنها ايها می کند و برآورد آن در زمینه های مختلف ضروري است (Miryaghoubzadeh *et al.*, 2014).

استفاده از سنجش از دور، امكان پايش مداوم اين عامل را فراهم می کند. اين فناوري بسيار مفيد برای بررسی پوشش گياهی از گذشته تاکنون نسبت به روش های ديگر ارجحیت داده شده است (Saberfar *et al.*, 2018). سنجش از دور با بهره گيري از داده های ماهواره ای و كمترین استفاده از داده های زميني و الگوریتم های متعدد، برآورد دقیقي از مقدار تبخیر- تعرق در مناطق بسيار وسیع ارائه می کند (Bastiaanssen & Chandrapalan, 2003; Kazeminia, 2017).

يکی از الگوریتم های مورد استفاده در تجزیه و تحلیل تصاویر ماهواره ای برای برآورد تبخیر- تعرق و ضریب گیاهی محصولات مختلف، الگوریتم سبال یا توازن انرژی سطح زمین SEBAL: Surface Energy Balance Algorithm for (Ghamarnia *et al.*, 2017) است (Land

(2019)



شکل ۱- موقعیت منطقه مورد مطالعه

دماهی هوا: متوسط دمای ماهانه و سالانه در ایستگاه سینوپتیک کرمانشاه با پایه آماری ۲۰ ساله در جدول ۱ ارائه شده است.

بارندگی: متوسط بارندگی ماهانه و سالانه منطقه مورد مطالعه در جدول ۲ آمده است.

داده‌های مورد استفاده
در این پژوهش از داده‌های ۲۰ ساله (۱۳۸۸-۱۳۶۹) ایستگاه سینوپتیک کرمانشاه (۳۵°۳۴' عرض شمالی و ۴۷°۰۵' طول شرقی) در مجاورت منطقه مورد مطالعه استفاده شد. براساس بررسی انجام شده، متغیرهای اقلیمی در منطقه ریاط ماهیدشت بدین شرح هستند:

جدول ۱- متوسط دمای ماهانه و سالانه در ایستگاه سینوپتیک کرمانشاه

ماه	مهر	آبان	آذر	دی	بهمن	اسفند	فوریه	اردیبهشت	خرداد	تیر	مرداد	شهریور	سالانه
متوسط دما (درجه سانتیگراد)	۱۴/۲	۲۳/۲	۲۴/۲	۲۵/۹	۲۰/۸	۱۵/۵	۱۱/۳	۵/۹	۲/۴	۳/۳	۶/۳	۱۱/۹	۱۷/۴

جدول ۲- متوسط بارندگی ماهانه و سالانه ایستگاه سینوپتیک کرمانشاه

ماه	مهر	آبان	آذر	دی	بهمن	اسفند	فوریه	اردیبهشت	خرداد	تیر	مرداد	شهریور	سالانه
متوسط بارندگی (میلی متر)	۴۷۷	۰/۶	۰/۳	۰/۷	۰/۷	۰/۷	۰/۷	۰/۷	۰/۷	۰/۷	۰/۷	۰/۷	۴۷۷

در صد باد غالب در ماههای مختلف برای ایستگاه سینوپتیک کرمانشاه تهیه شد (جدول ۳).

سرعت و جهت باد: فرآیند انتقال بخار، وابستگی زیادی به باد و آشفتگی هوا دارد که مقدار زیادی از بخار را از سطح تبخیر منتقل می‌کند. از این‌رو، متوسط سرعت، جهت و

جدول ۳- متوسط سرعت، جهت و درصد باد غالب در ایستگاه سینوپتیک کرمانشاه

ماه	مهر	آبان	آذر	دی	بهمن	اسفند	فروردین	اردیبهشت	خرداد	تیر	مرداد	شهریور
جهت باد غالب	جنوب	جنوب	جنوب	جنوب	جنوب	جنوب	غربی	غربی	غربی	غربی	غربی	غربی
سرعت باد غالب (متر بر ثانیه)	۴	۴/۳	۴	۴/۳	۴/۳	۴/۴	۴/۲	۴/۳	۴	۴/۱	۳/۹	۳/۹
درصد باد غالب	۲۲	۱۹	۲۵	۲۰	۱۸	۱۳	۱۴	۱۵	۱۳	۱۳	۱۴	۱۳
درصد باد آرام	۴۳	۳۹	۴۰	۳۶	۲۸	۲۶	۲۸	۴۱	۵۰	۵۲	۴۸	۵۰
درصد باد در جهت‌های دیگر	۳۵	۴۲	۳۵	۴۴	۴۴	۵۱	۴۸	۴۴	۳۷	۳۵	۳۸	۳۷

هوای اطراف، عامل تعیین‌کننده انتقال بخار است. جدول ۴، درصد رطوبت نسبی را در ایستگاه کرمانشاه نشان می‌دهد.

رطوبت نسبی: رطوبت هوا، معرف آب موجود در اتمسفر است. تفاوت بین فشار بخار آب در سطح تبخیر- تعرق ^و

جدول ۴- درصد رطوبت نسبی ماهانه و سالانه در ایستگاه سینوپتیک کرمانشاه

ماه	مهر	آبان	آذر	دی	بهمن	اسفند	فروردین	اردیبهشت	خرداد	تیر	مرداد	شهریور	سالانه
رطوبت نسبی (درصد)	۴۲	۶۰	۷۱	۷۰	۷۳/۵	۶۰	۵۲	۶۰	۲۷	۲۶/۵	۲۹	۵۱	۵۱

جدول ۶، اطلاعات هواشناسی منطقه مورد مطالعه در تاریخ‌های تصویرهای استفاده شده

تبخیر: مقدار تبخیر از تشت تبخیر نشان‌دهنده پتانسیل منطقه برای بخار کردن ارتفاع مشخصی از آب است که به آن تبخیر پتانسیل نیز گفته می‌شود (جدول ۵).

جدول ۵- میانگین ماهانه و سالانه تبخیر پتانسیل در ایستگاه سینوپتیک کرمانشاه

ماه	مهر	آبان	آذر	دی	بهمن	اسفند	فروردین	اردیبهشت	خرداد	تیر	مرداد	شهریور	سالانه
میانگین تبخیر پتانسیل (میلی متر)	۹۹/۲	۱۰۱/۶	۱۰۱/۶	۹۹/۲	۲۲/۹	۰	۰	۰	۰	۰	۰	۰	۱۹۱۹/۲

جدول ۶- اطلاعات هواشناسی منطقه مورد مطالعه در تاریخ‌های تصویرهای استفاده شده

تاریخ (درجه سانتیگراد)	کمینه دما (درجه سانتیگراد)	بیشینه دما (درجه سانتیگراد)	سرعت باد تبخیر تشتک (متر بر ثانیه) (میلی متر)	رطوبت نسبی (درصد) ساعت ۱۲:۳۰ ساعت ۱۸:۳۰ ساعت ۰۶:۳۰ (میلی متر)	بارندگی
۱۳۸۹/۰۴/۰۴	۱۲/۶	۱۳۸۹/۰۴/۰۴	۱/۳۵	۱۰/۳	۰
۱۳۸۹/۰۴/۲۰	۱۴/۸	۱۳۸۹/۰۴/۲۰	۲/۴۲	۱۴/۲	۰
۱۳۸۹/۰۵/۰۵	۱۳/۲	۱۳۸۹/۰۵/۰۵	۳/۷۶	۱۱/۹	۰
۱۳۸۹/۰۵/۲۱	۱۲/۶	۱۳۸۹/۰۵/۲۱	۳/۸۴	۱۲/۵	۱۰

سنجدنده سنتینل ۲ مربوط به تیرماه ۱۳۹۷ شمسی که از نظر بازه زمانی فصلی با تصاویر لندست، همپوشانی مناسبی داشتند و طبقه‌بندی کاربری‌های منطقه با استفاده از آن‌ها انجام شده بود، برای تعیین پراکنش توده‌های جنگلی در محدوده رباط ماهیدشت استفاده شدند (جدول ۷). به این منظور، ترکیب باندی ۸۴۳ سنجدنده سنتینل به کار برده شد که آشکارسازی پوشش گیاهی را به خوبی انجام می‌دهد. مرز محدوده جنگلی ابتدا با روش طبقه‌بندی بیشینه درست‌نمایی (Maximum Likelihood) تعیین شد. درنهایت، از تصاویر نرم‌افزار Google Earth و بازدید میدانی برای کنترل مرز دقیق توده‌های جنگلی و تعیین کاربری‌های دربرگیرنده محدوده استفاده شد.

تصویرهای مورد استفاده

در پژوهش پیش‌رو از تصاویر ماهواره‌ای لندست ۵ مربوط به سال ۱۳۸۹ شمسی (۲۰۱۰ میلادی) که از وبگاه سازمان زمین‌شناسی ایالات متحده (www.usgs.gov) اخذ شده بود، استفاده شد. این تصاویر در چهار تاریخ ۱۳۸۹ انتخاب‌برداری متوالی از چهار تیر تا ۲۱ مرداد سال ۱۳۸۹ انتخاب و استفاده شدند. تصاویر انتخاب‌شده، بدون پوشش ابر بوده، کیفیت مناسبی داشتند و اطلاعات آن‌ها قابل دسترس بود. به‌منظور صحت‌سنگی نتایج اجرای الگوریتم سیال از داده‌های اندازه‌گیری شده توسط یک دستگاه لایسی متر زهکش‌دار نصب شده در ایستگاه تحقیقات کشاورزی و منابع طبیعی ماهیدشت کرمانشاه استفاده شد. داده‌های

جدول ۷- مشخصات ماهواره و تاریخ تصویربرداری مورد استفاده در پژوهش

نوع اطلاعات ماهواره‌ای سنجدنده	تاریخ تصویربرداری (میلادی، شمسی)	تعداد باند	قدرت تفکیک (متر)
لندست ۵ (TM)	۲۰۱۰/۰۷/۲۷	۶ باند انعکاسی	۳۰ متر
فریم ۳۶	۱۳۸۹/۰۴/۰۴	۱ باند حرارتی	۱۲۰ متر
سنتینل ۲	۱۳۹۷/۰۴/۰۲	۱۲ باند	۵ باند ۱۰ متر
	۲۰۱۸/۰۶/۲۳	۶ باند ۲۰ متر	۲۰۱۸/۰۷/۰۳ SPC
	۱۳۹۷/۰۴/۱۲	۲ باند ۶۰ متر	۱۳۹۷/۰۴/۱۲

ماهواره بر حسب میلی‌متر، R_n تشعشع خالص، G شار حرارتی خاک و H نشان‌دهنده شار گرمای محسوس هوا (همگی بر حسب وات بر متر مربع) هستند. R_n از طریق رابطه (۲) محاسبه شد.

$$\text{رابطه (۲)} \quad R_n = (1 - \alpha) \times R_{S\downarrow} + R_{L\downarrow} - R_{L\uparrow} - (1 - \varepsilon_0) \times R_{L\downarrow}$$

که در آن: α : آلبیدو سطحی (بدون بعد)، R_s تشعشع موج کوتاه ارسال شده از خورشید، R_L تشعشع موج بلند به سمت زمین، $R_{L\uparrow}$ تشعشع موج بلند معکس شده از زمین به اتمسفر (همگی بر حسب وات بر متر مربع) و ε_0 : گسیلنگی اتمسفری (بدون بعد) هستند.

الگوریتم سیال الگوریتم بیلان انرژی سطح، یک مدل پردازش تصاویر ماهواره‌ای است که در ۲۵ مرحله محاسباتی، تبادل انرژی بین سطح و اتمسفر، تبخیر - تعرق لحظه‌ای و تبخیر - تعرق ۲۴ ساعته را محاسبه می‌کند. در این روش، از اطلاعاتی مانند آلبیدو، LAI، NDVI، دمای سطح و تشعشع خالص استفاده می‌شود. رابطه کلی مدل به شکل رابطه ۱ است.

$$\text{رابطه (۱)} \quad ET = R_n - G - H$$

که در آن: ET بیانگر تبخیر - تعرق لحظه‌ای (هنگام گذر

۲۰۰۰)، استفاده شد.

$$G = R_n \times \left(\frac{T_s - 273}{\alpha} \right) \times (0.0038 \times \alpha + 0.0074 \times \alpha^2) \times (1 - 0.98 \times NDVI^4) \quad (3)$$

که در آن: R_{n24} تشعشع خالص ۲۴ ساعته (وات بر متر مربع)، G_{24} شار حرارتی روزانه خاک (وات بر متر مربع)، α پارامتر کسر تبخیر، عدد ۸۶۴۰۰ تعداد ثانیه‌های ۲۴ ساعت و λ گرمای نهان تبخیر (زول بر کیلوگرم) هستند. گرمای نهان تبخیر موجب می‌شود تا تبخیر - تعرق واقعی ۲۴ ساعته بر حسب میلی‌متر بر روز بیان شود.

در این پژوهش از رابطه ۳ که یک معادله تجربی برای Tasumi *et al.*, (G) است (۴) است:

$$H = \frac{\rho \times C_p \times dT}{r_{ah}} \quad (4)$$

که در آن: NDVI شاخص گیاهی نرمال شده، T_s دمای سطح (بر حسب درجه کلوین) و α آلبیدو سطح است. رابطه ۴ نیز برای محاسبه شار محسوس (H) بر حسب وات بر متر مربع به کار می‌رود:

که در آن: ρ چگالی هوا (کیلوگرم بر متر مکعب) را نشان می‌دهد که تابعی از فشار اتمسفری است. C_p برابر با عدد ثابت ۱۰۰۴ و بیانگر ظرفیت گرمائی هوا (زول بر کیلوگرم بر درجه کلوین) است. dT نشان‌دهنده اختلاف دما بین دو ارتفاع Z_1 و Z_2 و r_{ah} نیز بیانگر مقاومت آبیودینامیکی در برابر انتقال گرما (ثانیه بر متر) هستند. پس از محاسبه پارامترهای الگوریتم سبال، تبخیر - تعرق لحظه‌ای (ET_{inst}) بر حسب میلی‌متر بر ساعت با استفاده از رابطه (۵) محاسبه می‌شود.

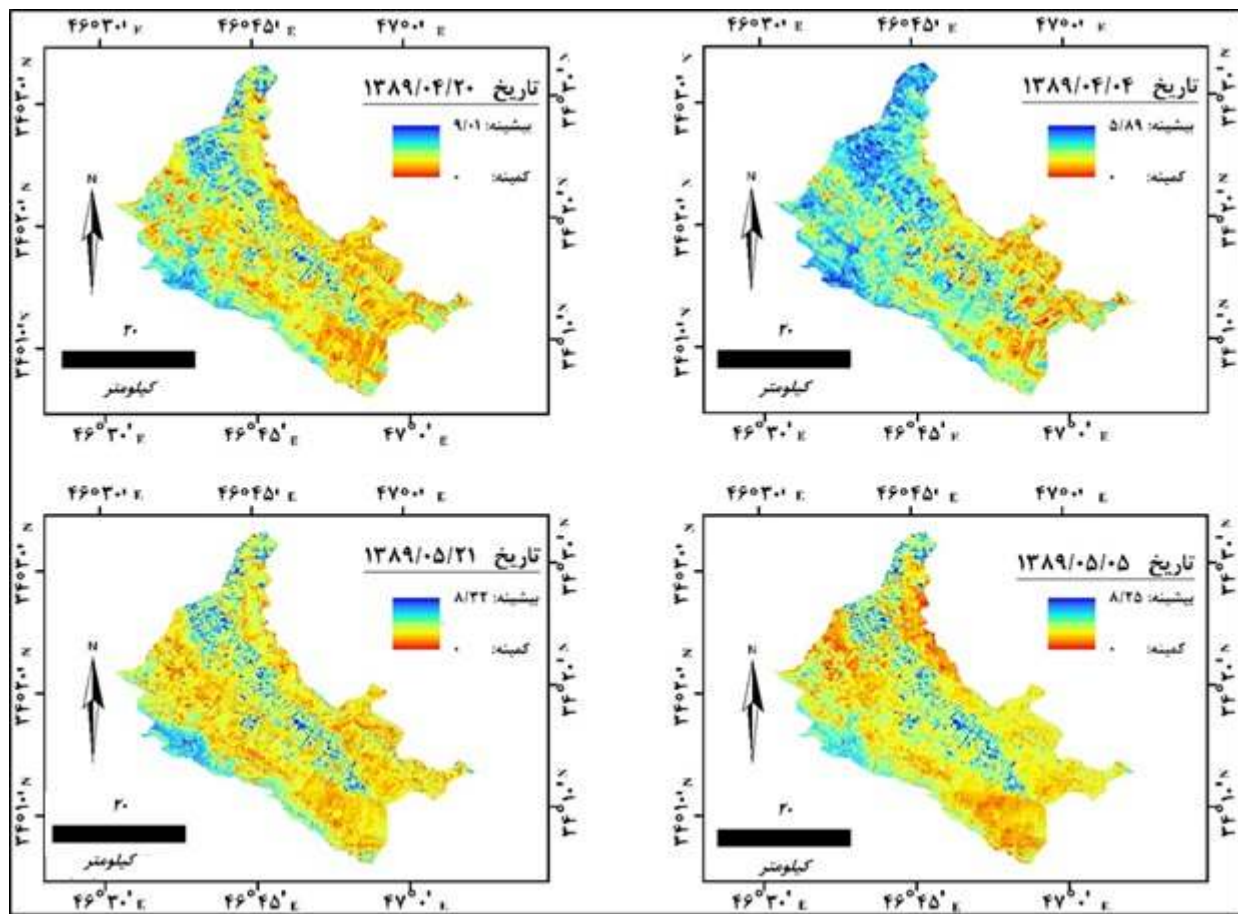
$$ET_{inst} = \frac{\lambda \times ET}{\lambda} \times 3600 \quad (5)$$

که در آن: λ بیانگر گرمای نهان تبخیر (زول بر کیلوگرم) است. از عدد ۳۶۰۰ نیز به منظور تبدیل تبخیر - تعرق از ثانیه به ساعت استفاده شد. درنهایت، تبخیر - تعرق ۲۴ ساعته (ET_{24}) از رابطه ۶ به دست آمد (Karimi *et al.*, ۲۰۱۳):

$$ET_{24} = \frac{86400 \times \Delta \times (R_{n24} - G_{24})}{\lambda} \quad (6)$$

نتایج

تبخیر - تعرق در منطقه رباط ماهیدشت در ابتدا برای آماده‌سازی تصاویر ماهواره لندست، تصحیح رادیومتریک که شامل دو مرحله تبدیل ارزش رقومی (Digital Number) به تابش طیفی و سپس، تبدیل تابش طیفی به بازتاب طیفی است، انجام شد. سپس، با اجرای مراحل ۲۵ گانه الگوریتم سبال، تصاویر لندست در چهار تاریخ ذکر شده پردازش شد. درنهایت، نقشه تبخیر - تعرق در محدوده رباط ماهیدشت تهیه شد (شکل ۲). براساس نتایج به دست آمده، بیشترین تبخیر - تعرق در بازه مورد مطالعه مربوط به کشت‌های آبی با مقدار نه میلی‌متر در روز بود. مقایسه نتایج الگوریتم سبال با داده‌های اندازه گیری شده با لایسی‌متر نشان داد که بیشینه خطای برآورد الگوریتم سبال نسبت به لایسی‌متر ۹/۷۹ درصد است. متوسط این خطای در چهار تاریخ مورد بررسی نزدیک به ۰/۵۳ میلی‌متر در روز (جدول ۸) و ضریب همبستگی بین دو سری ۰/۹۹۶۷ به دست آمد. از آنجایی که دقت برآورده الگوریتم سبال به مقدار زیادی به واقعیت زمینی نزدیک بود، بنابراین می‌توان گفت که برآورد سبال در حد قابل قبولی، امکان استفاده برای تحلیل‌های مربوط به تبخیر - تعرق در کل منطقه پوشش جنگلی را دارد.



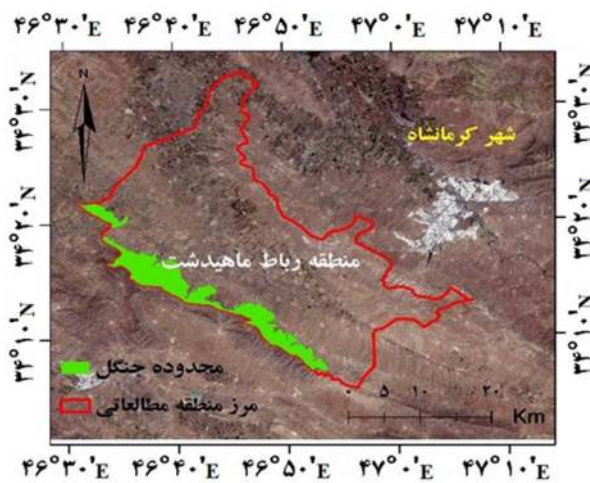
شکل ۲- نقشه‌های تبخیر- تعرق ۲۴ ساعته (میلی‌متر) منطقه رباط‌ماهیدشت در چهار تاریخ تصویربرداری ماهواره لندست ۵

جدول ۸- مقایسه برآورد تبخیر- تعرق روزانه در رباط‌ماهیدشت توسط لایسی‌متر و الگوریتم SEBAL با استفاده از تصاویر ماهواره لندست ۵ (TM)

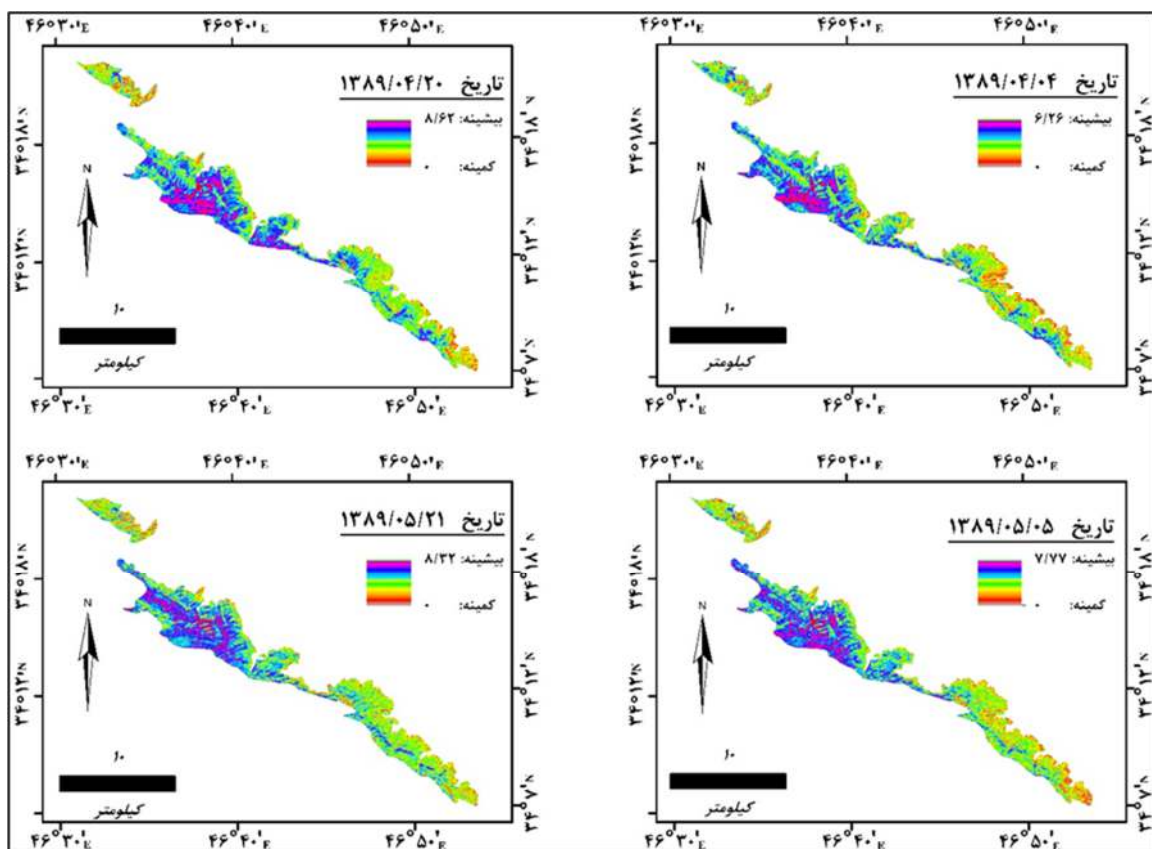
تاریخ	تبخیر- تعرق برآورده لایسی‌متر				تبخیر- تعرق روزانه در رباط‌ماهیدشت
	سبال (میلی‌متر در روز)	برآورد (میلی‌متر در روز)	درصد خطای متوسط اختلاف مطلق	اختلاف مطلق بین دو	
۱۳۸۹/۰۴/۲۰	۴/۱۳	۴/۹۷	۰/۱۶	۳/۸۷	۰/۵۳
۱۳۸۹/۰۴/۲۱	۷/۷۴	۷/۲	۰/۵۴	۳/۹۷	۹/۷۹
۱۳۸۹/۰۵/۰۵	۷/۴۵	۶/۷۲	۰/۷۳	۰/۷۲	۸/۶۹
۱۳۸۹/۰۵/۲۱	۸/۰۵	۷/۳۵	۰/۷	۰/۷	۸/۶۹

بلوط، نقشه تبخیر- تعرق منطقه رباط‌ماهیدشت در چهار تاریخ تصویربرداری مربوط به تیر و مردادماه ۱۳۸۹ برش داده شد (شکل ۴).

یکی از مهم‌ترین پوشش‌های گیاهی در استان کرمانشاه و منطقه رباط‌ماهیدشت، پوشش جنگلی بلوط است. شکل ۳ مرز محدوده جنگلی تعیین شده در منطقه رباط‌ماهیدشت را نشان می‌دهد. برای برآورد تبخیر- تعرق پوشش جنگلی



شکل ۳- محدوده جنگلی تعیین شده در منطقه ریاضت ماهیدشت بر روی تصویر ماهواره سنتینل ۲



شکل ۴- نقشه‌های تبخير- تعرق ۲۴ ساعته پوشش جنگلی (میلی‌متر) در منطقه ریاضت ماهیدشت در چهار تاریخ تصویربرداری ماهواره لندست ۵

به مناطق مجاور بیشتر بوده و با مزارع خوب آبیاری شده (پلی‌گون‌های بنفش در شکل ۲ در محدوده غیرجنگلی)

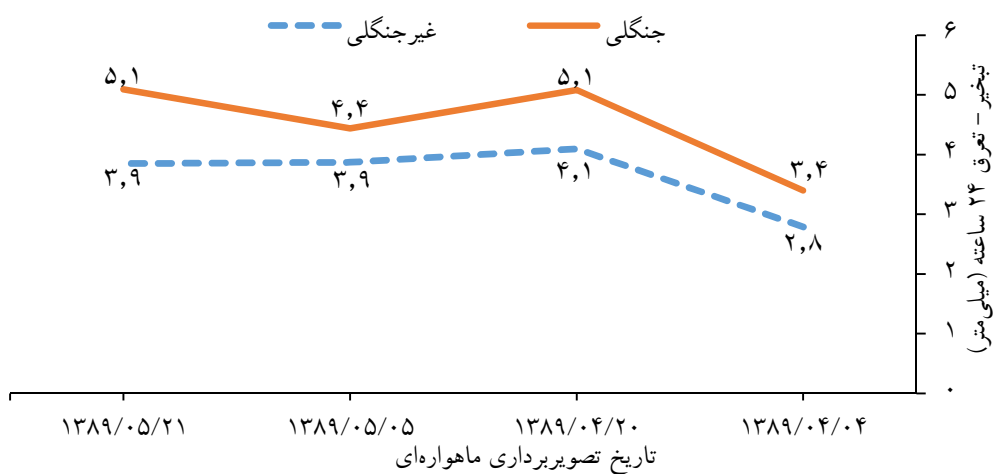
همان‌گونه که از شکل ۴ و نیز جدول ۹ قابل استنباط است، مقدار بیشینه تبخير- تعرق در پوشش جنگلی نسبت

پوشش جنگلی به مقدار ۸۵/۰ میلی‌متر در روز، بیشتر از مناطق غیرجنگلی بود (جدول ۹). مقایسه تبخیر - تعرق بین جنگل و کاربری‌های دیگر در شکل ۵ نشان داده شده است.

برابری می‌کند. به طور کلی، در هر چهار تاریخ مورد بررسی، مقدار تبخیر - تعرق در سطح پوشش جنگلی قابل توجه بود. مقایسه تبخیر - تعرق پوشش جنگلی با مناطق دیگر در هر چهار تاریخ نشان می‌دهد که متوسط تبخیر - تعرق در

جدول ۹- مقایسه تبخیر - تعرق ۲۴ ساعته بین مناطق جنگلی و غیرجنگلی رباط ماهیدشت

تبخیر - تعرق (میلی‌متر)	منطقه بدون جنگل	جنگل						
۱۳۸۹/۰۵/۲۱
۱۳۸۹/۰۵/۰۵	۷/۷۷	۸/۲۴	۸/۶۲	۹/۰۱	۶/۲۶	۵/۹۴	۵/۹۴	۵/۹۴
۱۳۸۹/۰۴/۲۰	۴/۴۴	۳/۸۷	۵/۰۸	۴/۱	۳/۴	۲/۷۹	۲/۷۹	۲/۷۹
۱۳۸۹/۰۴/۰۴	۰/۹	۱/۰۱	۱/۰۱	۱/۱۹	۰/۷۴	۰/۹۷	۰/۹۷	۰/۹۷



شکل ۵- مقایسه تبخیر - تعرق ۲۴ ساعته بین مناطق جنگلی و غیرجنگلی رباط ماهیدشت در چهار تاریخ تصویربرداری

شادابی و بقا درختان جنگلی وارد کند. می‌توان گفت که تنش کمبود رطوبت (بهویژه رطوبت خاک) در سال‌های اخیر از مهم‌ترین عوامل بروز پدیده زوال در جنگل‌های زاگرس بوده است (Azami, 2017). نقشه‌های تهیه شده در پژوهش پیش رو نشان‌دهنده تغییرات بارز مقدار تبخیر - تعرق در سطح منطقه رباط ماهیدشت هستند، به طوری که با گذشت زمان از اوایل تیرماه به‌سمت اواخر مردادماه و برداشت عمدی محصولات زراعی در دشت ماهیدشت، مقدار تبخیر - تعرق در منطقه

بحث

بررسی شرایط کلی و توان بوم‌شناختی توده‌های جنگلی زاگرس نشان‌دهنده ضعف این رویشگاه است که به طور تدریجی در چند قرن اخیر به وجود آمده و روند آن، افزایش یافته است (Hosseinzade & Pourhashemi, 2017). خشکی و کاهش رطوبت طی چند دهه گذشته به‌شكل محسوسی بر کیفیت و شادابی جنگل‌های بلوط تأثیر گذاشته است. کاهش رطوبت خاک می‌تواند صدمه جدی به رشد،

کمتر بود که احتمال زیاد تنفس خشکی در سال‌های خشک را نشان می‌دهد. جنگل‌های بلوط در منطقه رباط ماهیدشت و کل زاگرس نیز طی دو دهه گذشته با تنفس‌های دوره‌ای مواجه بوده‌اند که نتیجه آن، بروز خشکیدگی‌های وسیع در این بوم‌سازگان‌ها است. نتایج پژوهش پیش‌رو نشان داد که با استفاده از الگوریتم سبال و تصاویر ماهواره لندست ۵ می‌توان نقشه‌های تبخیر - تعرق را با دقت مناسب و برای پوشش‌های مختلف گیاهی تهیه کرد. مقایسه داده‌های به‌دست‌آمده از اندازه‌گیری مستقیم با استفاده از لایسی‌متر و نقشه‌های به‌دست‌آمده از الگوریتم سبال در منطقه رباط ماهیدشت، همخوانی و دقت خوب روش سبال را تأیید کرد، به‌طوری‌که در چهار تاریخ تصویربرداری، اختلاف برآورد الگوریتم سبال در مقایسه با لایسی‌متر حدود ۰/۵۳ میلی‌متر در روز با ضریب تعیین ۰/۹۹۶۷ به‌دست آمد که نشان‌دهنده تفاوت نه درصدی برآورد بین دو روش است. Malekpour و همکاران (۲۰۱۷)، نتایج مشابهی را برای دشت قزوین گزارش کردند. آن‌ها با اجرای الگوریتم سبال و مقایسه با داده‌های لایسی‌متر چهکش‌دار، ضریب همبستگی و میانگین تفاضل مطلق را به ترتیب ۰/۹۹۴۸ و ۰/۴۴۶ میلی‌متر در روز به‌دست آوردند. به‌طور کلی، این نتایج بیانگر کارایی مناسب روش سنجش از دور در تخمین تبخیر - تعرق هستند.

منابع مورد استفاده

- Azami, A., 2017. Derivation of soil water budget in the oak stands of Ilam province. Final report of Research Project, Published by Research Institute of Forests and Rangelands, Tehran, 55p (In Persian).
- Bahrami, S., Sarami, R. and Khodadad, M., 2019. Survey of land surface temperature changes and evapotranspiration in relation to the standardized vegetation index using GIS (Case study: Minoodasht city). Mapping and Geospatial Information Journal of Guilan, 4(3): 24-33 (In Persian).
- Bastiaanssen, W.G.M. and Chandrapala, L., 2003. Water balance variability across Sri Lanka for assessing agricultural and environmental water use. Agricultural Water Management 58(2): 171-92.
- Gharnaria, H., Gholamian, S.M. and Kamali, N., 2017. Estimating of crop coefficient and actual evapotranspiration of corn using Landsat8 images

دشته‌ی کم شده است. مقدار تبخیر - تعرق در محدوده جنگلی، ارتباط مشخصی بین ارتفاع جنگل و مقدار تبخیر - تعرق نشان داد، به‌طوری‌که افزایش ارتفاع از سطح دریا در پوشش جنگلی سبب افزایش تبخیر - تعرق نیز شد. دمای سطحی زمین در جهت مخالف با تبخیر - تعرق تغییر می‌کند و رابطه‌های معنی‌داری بین سایه دامنه، ارتفاع از سطح دریا و توان بوم‌ساختی با مقدار و شدت خشکیدگی در توده‌های جنگلی وجود دارند (Najafifar, 2016; Bahrami et al., 2019).

Hosseinzadeh و همکاران (۲۰۱۵) با بررسی زوال جنگل‌های ایلام گزارش کردند که اثرات متقابل جهت دامنه و ارتفاع از سطح دریا بر خشکیدگی درختان بلوط، معنی‌دار هستند. نکته مهم دیگر آن است که پوشش جنگلی بلوط در صورت وجود رطوبت کافی، نیاز آبی قابل توجهی دارد. چنان‌که در بازه زمانی مورد بررسی در پژوهش پیش‌رو، مقدار تبخیر - تعرق واقعی پوشش جنگلی حدود ۳۵۶ میلی‌متر (برای حدود ۵۰ روز) برآورد شد که نشان می‌دهد مقدار تبخیر - تعرق پتانسیل در پوشش جنگلی طی دوره فعالیت سالانه گیاه نسبت به اراضی زراعی و مرتعی بیشتر است. مناطق با پوشش گیاهی متراکم و دمای سطحی کم، تبخیر - تعرق بیشتری نسبت به مناطق دیگر دارند (Bahrami et al., 2019).

باتوجه به گستردگی جنگل‌های زاگرس در مناطق اغلب نیمه‌خشک، پوشش جنگلی بلوط زاگرس با کمبود آب در دسترس مواجه است که می‌تواند سبب رشد کند و در موارد شدیدتر، خشکیدگی این بوم‌سازگان‌ها شود. در صورت وقوع خشک‌سالی در یک رویشگاه، درختان به‌تناسب وضع فیزیولوژیک خود به تنفس خشکی پاسخ می‌دهند. پایه‌های درختی برای جبران کمبود رطوبت هوا و خاک و جلوگیری از هدررفت آب برگ، سطح برگ خود را کاهش داده یا به ضخامت آن می‌افزایند (Hosseini, 2015). روابط حاکم بر وضعیت آب و مقدار جذب آب توسط درخت، یکی از شاخص‌های سلامت درختان است. براساس نتایج پژوهش Thomas و Hartmann (۱۹۹۶)، محتوای نسبی آب در برگ درختان آسیب‌دیده بلوط (*Q. robur*) در جنگل‌های آلمان نسبت به درختان سالم آن حتی در دوره‌های با بارندگی کافی،

- climates of Iran. Journal of Watershed Engineering and Management, 10(4): 645-658 (In Persian).
- Kazeminia, A., 2017. Application of remote sensing and GIS in the investigating vegetation coverage. Geospatial Engineering Journal, 9(1): 75-85 (In Persian).
 - Khan Hasani, M., 2001. Study of forest ecosystems of Zagross (Kermanshah province). Final Report of Research Project, Published by Research Institute of Forests and Rangelands, Tehran, 82p (In Persian).
 - Malekpour, M., Babazadeh, H., Kaveh, F., and Ebrahimi Pak, N.A., 2017. Estimation of actual evapotranspiration and water productivity of wheat using SEBAL algorithm and Landsat 5TM images. Journal of Water Research in Agriculture, 30(4): 569-583 (In Persian).
 - Miryaghoubzadeh, M., Solaimani, K., Habibnejad Roshan, M., Shahedi, K., Abbaspour, K. and Akhavan, S., 2014. Estimation and assessment of actual evapotranspiration using remote sensing data (Case study: Tamar basin, Golestan province, Iran). Journal of Irrigation and Water Engineering, 4(15): 89-102 (In Persian).
 - Najafifar, A., 2016. Effects of topography and site ecological capability in droughtness of oak forests, Ilam province. Final Report of Research Project, Published by Research Institute of Forests and Rangelands, Tehran, 80p (In Persian).
 - Saberfar, R., Falahatkar, S. and Kia, S.H., 2018. Analysis of vegetation indices change in sensors of Landsat satellite (Case study: Persian juniper fields of east Golestan National Park and Ghorkhod Protected Area). Journal of Natural Ecosystems of Iran, 9(1): 71-91 (In Persian).
 - Sagheb Talebi, Kh., Sajedi, T. and Pourhashemi, M., 2014. Forests of Iran: A Treasure from the Past, a Hope for the Future. Springer, Dordrecht, 152p.
 - Tasumi, M., Allen, R.G. and Bastiaanssen, W.G.M., 2000. The theoretical basis of SEBAL: 46-69. In: Morse, A., Tasumi, M., Allen, R.G. and Kramber, W. (Eds.). Application of the SEBAL Methodology for Estimating Consumptive Use of Water and Streamflow Depletion in the Bear River Basin of Idaho Through Remote Sensing. Final report to the Raytheon Systems Company, Earth Observation System Data and Information System Project, Department of Water Resources and University Idaho, Idaho, 107p.
 - Thomas, F.M. and Hartmann, G., 1996. Soil and tree water relations in mature oak stands of northern Germany differing in the degree of decline. Annals of Forest Science, 53(2-3): 697-720.
 - (Case study: Sarab Nilufar plain in Kermanshah). Iran-Water Resources Research, 12(4): 94-108 (In Persian).
 - Heshmati, M., Gheitouri, M., Sheikhvai, M., Arabkhedri, M. and Hoseini, M., 2017b. Combating the forest mortality crises in Zagros regions, Iran through adaptive approaches solutions. Journal of Geography and Environmental Hazards, 6(3): 125-141 (In Persian).
 - Heshmati, M., Gheitouri, M., Parvizi, Y., Ahmadi, M., Shikhveisi, M., Arabkhedri, M., ... and Shademani, A., 2017a. Effect of runoff harvesting trough crescent shaped bounds on oak dieback curtailing and increasing soil organic carbon in the Zagros Forest, Kermanshah, Iran. Iranian Journal of Rainwater Catchment Systems, 5(1): 1-8 (In Persian).
 - Heshmati, M., Gheitouri, M., Parvizi, Y., Ahmadi, M., Sheikhvai, M., Soleimani, H., ... and Mohammadishokoh, A., 2018. Assessment of the effects of micro-catchment runoff harvesting system and forest preservation on moisture storage and understory ground cover in the Zagros forest, Kermanshah. Iranian Journal of Watershed Management Science and Engineering, 12(40): 95-104 (In Persian).
 - Hosseini, A., 2015. Leaf morphological and physiological responses of Persian oak trees in oak decline affected stands. Iranian Journal of Rangelands and Forests Plant Breeding and Genetic Research, 23(2): 288-298 (In Persian).
 - Hosseini, Gh., Rahimi, M., Kartoolinejad, D. and Jafari, M., 2015. A review of climate factors affecting forest tree decline. Proceedings of 1st National Conference on Geography, Tourism, Natural Resources and Sustainable Development. Tehran, Iran, 19 Feb. 2015: 10p (In Persian).
 - Hosseinzade, J. and Pourhashemi, M., 2017. Emergence of desiccation within Zagros forests decline. Journal of Iran Nature, 2(4): 18-21 (In Persian).
 - Hosseinzadeh, J., Aazami, A. and Mohammadpour, M., 2015. Influence of topography on Brant's oak decline in Meleh-Siah Forest, Ilam Province. Iranian Journal of Forest and Poplar Research, 23(1): 190-197 (In Persian).
 - Karimi, A., Farhadi Bansouleh, B. and Hesadi, H., 2013. Estimation of regional evapotranspiration using Landsat TM images and SEBAL algorithm. Iranian Journal of Irrigation and Drainage, 4(6): 353-364 (In Persian).
 - Kazemi, R. and Sharifi, F., 2019. Investigation and analysis of factors affecting base flow in different

Estimation of evapotranspiration of oak forest cover using SEBAL algorithm in the Robat Mahidasht region of Kermanshah, Iran

H. Hesadi^{1*}, A. Behnia², A.M. Akhoond-Ali², S.M. Kashefi Pour², P. Daneshkar Arasteh³ and A.R. Karimi⁴

1*- Corresponding author, Senior Research Expert, Soil Conservation and Watershed Management Research Department, Kermanshah Agricultural and Natural Resources Research and Education Center, AREEO, Kermanshah, Iran
E-mail: hhesadi@gmail.com

2- Prof., Faculty of Water Science and Engineering, Shahid Chamran University of Ahvaz, Ahvaz, Iran

3- Associate Prof., Faculty of Agriculture and Natural Resources, Imam Khomeini International University, Qazvin, Iran

4- M.Sc. of Water Resources, Fars Province Water and Wastewater Company, Shiraz, Iran

Received: 10.01.2020

Accepted: 15.03.2021

Abstract

Oak (*Quercus* spp.) forest cover is one of the most important living ecosystems in the western region of Iran and the Kermanshah Province. One of the important managerial needs of this cover is the water requirement of the oak plant. Currently, determining the amount of water required by the oak plant is one of the main priorities of the country's natural resources sector. Among the practical methods for estimating the evapotranspiration of vegetation (water requirement) at different levels are remote sensing techniques. In this study, in order to determine the rate of evapotranspiration of forest cover in the Robat Mahidasht region in the Kermanshah Province, the SEBAL algorithm and four images of Landsat 5 in the period of June, July, and August of 2010 were used. Then, using Sentinel satellite images, the forest areas of the Robat-Mahidasht region were extracted and matched with the calculated evapotranspiration map. Based on the obtained results, the average rate of 24-hour evapotranspiration of forest cover in the desired time period has varied between 3.4 to 5.09 mm. The correlation coefficient between the estimation of evapotranspiration by SEBAL and lysimetric measurement in Mahidasht region was about 0.9967 and the absolute difference between them was about 0.53 mm per day, which indicates an error of less than 10%. The estimation of SEBAL algorithm is acceptable. Remote sensing technique and the SEBAL algorithm can be used in the compression classification and even the health of forests if there is a suitable sequence of images and with the help of satellite data of other sensors such as Sentinel images.

Keywords: Energy balance equation, Sentinel, TM sensor, Zagros forests.